

ارزیابی عملکرد حرارتی یک دودکش خورشیدی با دو حالت مستقل و تزریق هوا از کف-نمونه موردنی: ساختمان اداری در شهر کرمان^۱

پوپک پورسیستانی

گروه معماری، واحد بین المللی کیش، دانشگاه آزاد اسلامی، جزیره کیش، ایران
حسین مدبی^{**۲}

استادیار گروه معماری، دانشکده معماری و شهرسازی، واحد قزوین، دانشگاه بین المللی امام خمینی، قزوین، ایران
مصطفی مافی

استادیار گروه مکانیک، دانشکده فنی و مهندسی، واحد قزوین، دانشگاه بین المللی امام خمینی، قزوین، ایران

تاریخ دریافت: ۱۳۹۹/۰۹/۱۷ تاریخ پذیرش: ۱۳۹۹/۱۲/۱۷

چکیده

سهم عمدہ‌ای از مصرف انرژی با بهره‌گیری از تجهیزات مکانیکی تأمین می‌گردد. روش طراحی غیرفعال می‌تواند به حفظ شرایط حرارتی آسایش در ساختمان‌ها و کاهش مصرف انرژی کمک کند. به‌طورخاص، اجرای دودکش‌های خورشیدی در جهت تهویه هوای داخلی ساختمان باعث کاهش راندمان انرژی می‌شود. در این مقاله یک ارزیابی عملکرد آسایش حرارتی در یک ساختمان دولتی با و بدون ادغام دودکش خورشیدی توسط برنامه شبیه‌سازی دیزاین‌بیلدر مدل‌سازی شده و با استفاده از روش دینامیک سیالات (CFD) به بررسی توزیع دمایی و نحوه جریان هوا پرداخته شد که نتایج نشان داد که ادغام دودکش‌های خورشیدی می‌تواند PMV (میانگین رأی پیش‌بینی شده) را به میزان ۵۵ درصد نسبت به ساختمان پایه کاهش دهد و مقادیر آن به بازه استاندارد اشتری ۵۵ و ایزو ۷۷۳۰ نزدیک گردد. در ادامه تحقیق آزمایش‌هایی بر ایجاد حفره تحتانی دودکش انجام گرفته شد که مکش هوای بیرون به داخل دودکش را به‌عهده دارد و نتایج آن به افزایش عملکرد دودکش‌های خورشیدی و نزدیک کردن به معیار آسایش حرارتی فنگر انجامید. بطوریکه معیار آسایش حرارتی PMV از ۴/۶۳ واحد به میزان ۲/۵۶ واحد و میانگین دمای هوای اتاق‌ها در گرم‌ترین ماه سال (جولای) از ۳۶/۲۱ درجه سانتی‌گراد به ۳۳/۶۱ درجه رسید که میانگین دما، مقدار ۲/۶ درجه سانتی‌گراد کاهش پیدا کرده است. به‌طورکلی، سیستم ترکیبی دودکش خورشیدی و با تزریق هوا از کف آن، میزان تهویه بالاتری را در محیط داخلی ایجاد می‌کند و پتانسیل بالاتر آن را به عنوان یک سیستم تهویه غیرفعال در اقلیم گرم خودنمایی می‌کند.

کلمات کلیدی: دودکش خورشیدی، ارزیابی حرارتی، اقلیم گرم و خشک، دیزاین بیلدر.

^۱ مقاله حاضر برگرفته از رساله دکتری نویسنده اول با عنوان "روش بهبود عملکرد دودکش خورشیدی در بکارگیری طراحی یکپارچه در ساختمان‌های اداری در منطقه گرم و خشک کرمان" تحت راهنمایی نویسنده دوم و مشاوره نویسنده سوم انجام شده است.

E-mail: medi@arc.ikiu.ac.ir ^{**}(نویسنده مسئول)

احساس رضایت ذهنی فرد نسبت به شرایط محیط در ساختمان را با عنوان آسایش حرارتی بیان می‌کند و شرایط آسایش حرارتی بر سلامت و روحیه افراد اثر مستقیمی دارد و این مهم در ساختمان‌های اداری به مراتب با بازدهی کاری کاکنان در ارتباط است و با استفاده از سیستم‌های تهویه مطبوع این امکان فراهم می‌شود که هدف اصلی آن، تأمین آسایش حرارتی در محیط‌های بسته است. در حالت کلی فاکتورهای مهم آسایش حرارتی عبارتند از: پوشش بدن، فشار جزئی بخار یا دمای نقطه شبنم، دمای حباب خشک، سرعت نسبی هوا نسبت به بدن انسان و دمای تابشی متوسط سطوح اطراف (P.O. Fanger, 1972) دما و سرعت جریان هوا از مهم‌ترین فاکتورها در میان فاکتورهای فوق، هستند (Ürge-Vorsatz, Cabeza, Serrano, Barreneche, Petrichenko, 2015, p85-98).

با توجه به اینکه انرژی یکی از مهم‌ترین شاخص‌های اقتصادی و زیستمحیطی است بنابراین میزان مصرف انرژی و همچنین کیفیت محیط داخلی منازل و ادارات، یکی از دغدغه‌های اساسی طراحان بوده و هست. مطالعات نشان می‌دهد شایع‌ترین نوع شکایت در ساختمان‌های اداری در مورد نارضایتی حرارتی (از گرمایش یا سرما) می‌باشد. سازگاری محیط داخلی ساختمان از نظر حرارتی، علاوه بر تأمین آسایش برای کارکنان و مراجعین، باعث صرف‌جویی در مصرف انرژی، سلامت، بالا رفتن بهره‌وری و نیز بهبود روحیه کارکنان خواهد داشت. در واقع اقلیم و شرایط محیطی داخل و خارج، تأثیرات فیزیکی و روانی خاص بر انسان دارند که باید به موقعیت گرمایش و سرمایش در طراحی ساختمان مورد توجه قرار گیرد. (taban, pourjafar, Bemanian and Heidari, 2013, p.79)

اشری^۱، آسایش حرارتی را شرایط ذهنی می‌داند که رضایت‌مندی شخص را از شرایط محیط خویش بیان می‌کند (ASHRAE 55, 2010) و یکی از راهکارهای پیشنهادی برای تأمین شرایط آسایش حرارتی و کاهش مصرف انرژی در سیستم گرمایش، استفاده از توان انرژی خورشیدی در محل است که مهم‌ترین منبع انرژی تجدیدپذیر موجود می‌باشد (Abd Elbar, Hassan, H, 2019, p584-593). برای بررسی به این موضوع، فعالیت‌های گستره‌ای صورت گرفته است. برای نمونه، طراحی بیوکلیماتیک شامل بهره گرفتن از تکنیک‌های محافظت از انرژی در ساختن با متابع تجدیدپذیر مانند انرژی خورشیدی است. (Hansen, Esteves, Pattini, 2002, p 91-111).

در مقاله حاضر با توجه به قابلیت‌های محیطی و اقلیمی ساختمان‌های اداری مناطق گرم و خشک، به عنوان نمونه ساختمان اداری مدیریت و برنامه‌ریزی شهرکرمان انتخاب شده و روش امکان‌سنجی برای رسیدن به شرایط آسایش-حرارتی و میزان بهینه‌سازی مصرف سوخت از طریق نرم‌افزارهای شبیه‌سازی رایانه‌ای ارائه می‌گردد.

تمامی ساختمان‌ها قبل از اختراع سیستم‌های مکانیکی مدرن، به طور طبیعی تهویه می‌شدند و زمانی که بهینه‌سازی انرژی مصرفی در کنار شرایطی مناسب محیطی به دو موضوع مهم و اساسی در طراحی ساختمان تبدیل شد، تمایلات فراوانی به توسعه معماری باستانی میان دانشمندان اتفاق افتاد. دودکش خورشیدی یکی از کهن‌ترین استراتژی‌های تهویه غیرفعال به حساب می‌آید و در طی قرون مختلف به خصوص در خاورمیانه توسط ایرانیان و در اروپا توسط رومی‌ها مورد بهره‌برداری قرار گرفته است (Lal S, Kaushik S, Bhargav P, 2013, p97). ولی با توجه به دسترسی راحت به سیستم‌های تهویه مکانیکی و ترقی شیوه زندگی در قرن بیستم، بهره از نیروی باد یا انرژی خورشیدی

^۱ - Ashrae 55

جهت تهويه منسوخ گردید. بدین ترتیب، پژوهش‌ها و تحقیقات دودکش خورشیدی پیش از دهه ۱۹۸۰ نسبتاً محدود شد. در طی چند دهه گذشته، محققان پژوهش‌های زیادی در راستای کاهش مصرف انرژی و تأمین آسایش حرارتی انجام دادند و تلاش در جهت کاهش انتشار گازهای گلخانه‌ای و نیاز به تهويه فعال و کارا سبب افزایش علاقه جدید به دودکش‌های خورشیدی شد.

در بیشتر مطالعات دودکش خورشیدی، ایده اصلی توسعه تهويه طبیعی با فرض پارامترهای مختلف طراحی همچون ارتفاع کanal، عرض و جهت‌گیری دودکش مورد بررسی واقع شده بودند. خانل و لی (Khanal R, Lei C, 2011, p 9) تحقیقاتی در سال ۱۹۸۸ توسط بوچایر در رابطه با جهت قرارگیری دودکش‌های خورشیدی را انجام گرفت و در پژوهش خود، جهت گیری جنوبی را با توجه به عملکرد بهتر نسبت به سایر جهات برگزید (Bouchair, A, Fitzgerald, D, 1988, p 135-140) و بوچایر در تحقیقی دیگر در سال ۱۹۹۴ با روش تحلیلی و تجربی، رابطه بین ارتفاع و فاصله هوایی دودکش خورشیدی در آب هوای الجزایر تحلیل نمود (Bouchair, A, 1994, p81-93) و در تحقیقات دیگری که توسط خداری و همکاران ایشان در سال ۲۰۰۰ انجام گرفت به بررسی دودکش خورشیدی بر تهويه یک ساختمان اداری مجهز به سیستم تهويه مطبوع پرداخته شد که کاهش مصرف انرژی ساختمان موردنی از نتایج آن تحقیق استخراج گردید (Khedari, Boonsri, Hirunlabh, 2000, p89-93). در طی دو پژوهش توسط مادر و همکاران در سال ۲۰۰۶ و بسیونی و کورا در سال ۲۰۰۸ با انجام روش تحلیلی عددی به رابطه بین ابعاد ورودی و خروجی دودکش با نرخ جریان تهويه عبوری از دودکش پرداخته شد و طی تحقیقات آنان کارآیی دودکش خورشیدی با افزایش ابعاد ورودی و خروجی محفظه دودکش نسبت مستقیم دارد (Mathur, Bansel, Bassiouny & Koura, 2008, p 865-873)، (Mathur, Jain, 2006, p927-935) و تحقیقی جداگانه در سال ۲۰۱۳ با استفاده از نرم افزار انرژی پلاس دودکش‌های مختلفی را مدل سازی نموده و شبیه بهینه قرارگیری دودکش خورشیدی نسبت به سقف بنا بررسی کردند و در تحقیقاتشان، عملکرد سه مدل مختلف دودکش معمولی، شیشه‌ای و دودکش با مجرای اضافی در پشت جاذب حرارتی را بررسی کردند (Jianliu Weihua, 2013, p467) (Koronaki, 2013, p119) (Cole & Fedoruk, , 2015, p.111) (این پتانسیل، اثربخشی اجرای آینده‌نگر سیستم‌های یکپارچه مبتنی بر دودکش-های خورشیدی را نشان می‌دهد).

اکثریت مطالعات انجام گرفته شده براساس آزمایش‌های خالص یا رویکردهای تجربی همراه با مدل‌سازی عددی می‌باشد. مک‌کاوی و الگندی در سال ۲۰۱۶ با مدل سازی یک نمونه ساختمان دو طبقه در شهر اسکندریه مصر با استفاده از نرم‌افزار دیزاین‌بیلدر و استفاده از روش محاسباتی دینامیک سیالات (CFD)، رفتار حرارتی یک دودکش خورشیدی را بررسی کردند (Gehad Mekkawi & Rana Elgendi, 2016).

۱۶۰ فصلنامه علمی - پژوهشی جغرافیا و برنامه‌ریزی منطقه‌ای، سال پازدهم، شماره چهارم، تابستان ۱۴۰۰

انرژی خورشیدی در تهويه طبیعی را با معیارهای شاخص آسایش حرارتی مقایسه کردند و آنها دریافتند که سرعت تهويه داخلی با اعمال دودکش خورشیدی تا ۵۰ درصد افزایش کارآیی خواهد داشت و با عملکرد حرارتی آن، دمای هوای ثانویه به میزان ۸۱/۰ درجه سانتی گراد کاهش می‌یابد. نراقی و دوسوردت با استفاده از تحلیل دینامیکی ضریب همبستگی را محاسبه کردند که سرعت جریان هوا را برای یک دودکش خورشیدی از نوع سقف شیب دار با کمک تعدادی از نقاط داده و استفاده از آنالیز روش‌های دینامیکی محاسبه کردند. پارامترهای درگیر این همبستگی فاصله عرضی کanal، جذب دمای دیواره، دمای هوای ورودی، ارتفاع دودکش و شیب دودکش بود و در نظر گرفتن پارامترهای دیگر مانند تأثیر سرعت باد، همبستگی بیشتر را بهبود می‌بخشد. در نتیجه پژوهش، عوامل تأثیرگذار در میزان جریان هوا حاصل گردید (Naraghi & du Sordet, 2011, p 801).

در زمینه آسایش حرارتی با استفاده از شاخص حرارتی PMV با اعمال دودکش خورشیدی تحقیقات کمتری انجام شده است و صرفاً مبانی فرمی و اقتصادی طرح ملاک بوده است و معیارهای آسایش حرارتی را روی پروژه‌های دیگری مقایسه و ارزیابی نموده‌اند به گونه‌ای که در مقاله‌های اخیر انجام شده توسط حسین مدی و همکاران ایشان به عوامل تأثیرگذار بر کیفیت فضاهای باز شهری و افزایش مطابیت و پویایی شهرها با معیار آسایش حرارتی پرداخته است که با هدف بررسی تاثیر هندسه متداول بلوک‌های شهری در میزان آسایش حرارتی محیط خارج در دوره گرم و تابستانی شهر همدان، از نرم‌افزارهای شبیه‌سازی استفاده شده است. چهار عامل دمای هوا، دمای متوسط تشعشعی، رطوبت نسبی و سرعت جریان باد به عنوان مهمترین عوامل موثر بر آسایش حرارتی در فضای باز در فضای مرکزی و مشترک بلوک‌های مورد نظر استخراج گردیده است و در تحقیقات آنان از شاخص میانگین آرای پیش‌بینی شده به عنوان یکی از جامعترین روش‌های تخمین آسایش حرارتی محیط خارج بهره گرفته شده است و نتایج PMV پژوهش حاکی از آن است که آسایش حرارتی بیشتر تحت بازه زمانی است که تابش خورشید وجود دارد و سرعت جریان باد پس از تابش خورشید به عنوان عاملی بسیار مهم در جهت بهبود شرایط حرارتی محیط مطرح است (medi & khoshbakht & Azmodeh, 2020, p39).

در مقاله خانم لیلی السادات هاشمی رفسنجانی و شاهین حیدری به کمک انجام مطالعات میدانی در اقلیم گرم و خشک ایران بوده به عوامل دستیابی به شرایط آسایش حرارتی قابل قبول برای ساکنان ساختمان‌ها اشاره کردند و انسان به عنوان یگانه معیار قابل قبول در جهت تشخیص بازه آسایش حرارتی بیان کردند. نتایج نشان می‌دهد که بین دمای خنثی و میانگین دمای داخلی و خارجی ساختمان همبستگی قابل قبولی برقرار است (Hashemi Rafsanjani & Haydari, 2019).

در مقاله دیگری که توسط نجمه زنگنه و زهرا بوزگر انجام گرفته شده است به تأمین آسایش حرارتی در ساختمان که از مهمترین اهداف طراحی اقلیمی است، اشاره کرده‌اند. در آن پژوهش، میزان آسایش حرارتی فضای زمستان-نشین و حیاط مرکزی خانه ستی تولایی شیراز بررسی شد. بخشی از روش تحقیق این پژوهش بر مبنای میزان آسایش حرارتی به روش PMV بوده است و اطلاعات سرعت باد و دمای تابشی با استفاده از نرم‌افزار انرژی‌پلاس بدست آمد و بر اساس آنها PMV و PPD محاسبه شد. نهایتاً با مقایسه آسایش حرارتی فضاهای نتایج نشان داد که آسایش حرارتی زمستان‌نشین خانه تولایی در فصل سرما نسبت به حیاط مرکزی آن، از درجه راحت‌تر برخوردار بوده

است و بیش از ۸۵ درصد کاربران از زمستان‌نشین احساس رضایت دارند.(Zanganh & Barzgar, 2019, p.68) زهراسادات زمردیان، سعید امینیان و منصوره طاهباز مقاله‌ای در سال ۱۳۹۵ به ارتباط با ارزیابی آسایش حرارتی در یک از دبستان‌های شهر کاشان پرداخته شد و بر تأثیر مستقیم آسایش حرارتی محیط بر بهره وری و سلامت دانش آموزان کلاس‌های درس تاکید شد و در تحقیق خود با دو روش کمی و کیفی مقایسه با استانداردهای متدالو ارزیابی گردید و با توجه به متفاوت بودن بازه احساس حرارتی دانش آموزان با بزرگسالان بر تمهدات معماري و تأسیساتی برای تأمین شرایط آسایش در کلاس تمرکز کرد(Zomorodian & Aminian & Tahbaz,2016, p.28). در مقاله دیگری که توسط مریم انصاری‌منش و نازنین نصرالهی در سال ۱۳۹۳ به چاپ رسید به فاکتور آسایش حرارتی با منظور تعیین محدوده آسایش حرارتی ساکنین ساختمان‌های اداری کرمانشاه اشاره داشتند و کیفیت محیط داخلی را در ساختمان‌های اداری ایران را در حد متوسط ارزیابی نمودند و بهدلیل نبود استانداردهای لازم به منظور تعیین محدوده‌های آسایش در فضاهای اداری، علاوه بر نارضایتی حرارتی و کاهش میزان بهره وری کارکنان، باعث افزایش مصرف انرژی نیز می‌شود. نتایج تحقیق با استفاده از پرسشنامه و انجام مطالعات میدانی و اندازه گیری محیطی دما حاکی از آن است که محدوده مناسب حرارتی در فضاهای اداری شهر کرمانشاه بین ۲۰ تا ۲۶ درجه سانتی گراد است (Ansari manesh & Nasrollahi, 2014, p.17). در تحقیقات دیگری توسط قبرعلی شیخزاده، سروش صدری‌پور و مهدی ملامهدی به بررسی عددی تأثیر سرعت و مکان قرارگیری فن سقفی بر آسایش حرارتی و کاهش مصرف انرژی در ساختمان‌های اداری در سال ۱۳۹۷ انجام گرفت و در آن تحقیق، عملکرد فن سقفی را در زمستان با سیستم گرمایش مرکزی در فضای اتاق اداری سنجیده شد و برای مدل‌سازی آشتگی از مدل $k = 4$ - استفاده شده است. بر اساس نتایج این تحقیق، استفاده از فن سقفی، بدون درنظر گرفتن مکان آن در یک ارتفاع مشخص، باعث کاهش مصرف انرژی می‌شود و وضعیت شاخص‌های میانگین آراء افراد نسبت به شرایط گرمایی محیط (PMV) بهبود می‌یابد (Shikhzade & Sadripour & Mollamahdi,2019, p.309)

هر پژوهش علمی نیازمند یک روش تحقیق مناسب با موضوع خود دارد. با توسعه محاسبات عددی سریع و روش‌های دینامیکی سیال محاسباتی امکان به سرعت در تجزیه و تحلیل دودکش خورشیدی در حال رشد بودند و قبل از ظهور بسته‌های نرم افزاری تجاری؛ کدهای جریان چند لایه برای شبیه سازی جریان هوا و انتقال و توزیع حرارتی در دودکش خورشیدی تهیه شده‌اند.

در تحقیق حاضر، یک بازنگری برای یافتن بهترین مکان برای استقرار دودکش خورشیدی در جوار فضاهایی که به تهویه و توزیع دمایی بیشتری نیاز دارند، شده است و دودکش خورشیدی را به عنوان استراتژی مسئله گرمایش و سرمایش فضا توسط شاخص PMV تشریح خواهد نمود که این شاخص برای پیش‌بینی میانگین آراء حرارتی افراد براساس یک مقیاس هفت نقطه‌ای بر مبنای تعادل حرارتی بدن استوار است و نشان‌دهنده متوسط احساس یکسان چندین نفر از یک شرایط محیطی است. این شاخص از جمله مهمترین شاخص‌های فیزیولوژی دما محسوب می‌شود (Bahadorinezhad, Ya'ghobi, 2006). براساس استاندارد اشری ۵۵ و ایزو ۷۷۳۰، شاخص PMV در اتاق-های اداری بین دو آسایش طبقه بندی می‌شود، باید بین $-0/5$ و $+0/5$ باشد.

جدول ۱. مقیاس حس حرارتی ۷ نقطه‌ای اشری

خیلی سرد	سرد	کمی سرد	خنثی	کمی گرم	گرم	خیلی گرم
-3	-2	-1	0	+1	+2	+3

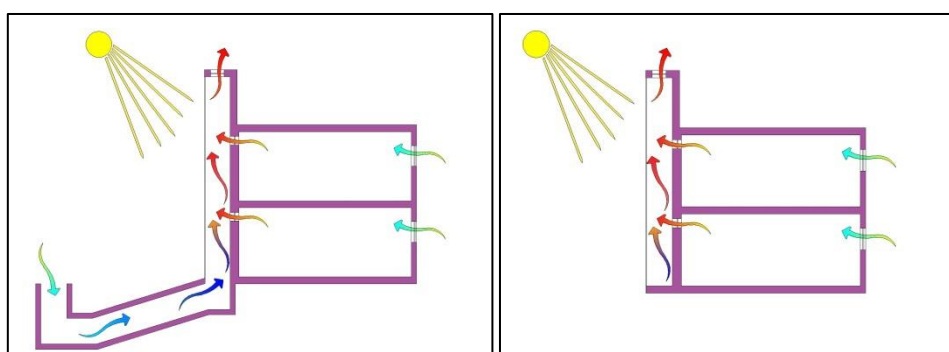
(ASHRAE Standard 55,2010) منبع:

بیان عملکردی دودکش خورشیدی

یک دودکش خورشیدی معمولی شامل یک جمع‌کننده خورشیدی، یک پوشش شفاف و دیافراگم ورودی و خروجی است. با استفاده از انرژی حرارتی خورشیدی، ممکن است اختلاف دمای کافی بین هوا در داخل و خارج از کanal دودکش خورشیدی ایجاد شود و یک جریان تهویه با اثر شناوری ایجاد شود و هر چه روز گرمتر باشد، میزان هوای جمع شده در کanal دودکش خورشیدی داغتر و حرکت هوا سریع‌تر انجام می‌گیرد.

عمل تابش خورشید در کanal محفظه دودکش خورشیدی می‌تواند اثر ناهمواری هوا را افزایش داده و به نوبه خود باعث بهبود عملکرد تهویه شود. دودکش خورشیدی شامل دو نوع دیواری و پشت‌بام هستند. پیشنهاد شده است که دودکش خورشیدی در پشت بام بهتر کار کند زیرا می‌تواند تابش خورشیدی بیشتری را جمع کند & (Mathur & Mathur & 2006, p1163) ولی با توجه به زیبایی بصری دودکش‌های خورشیدی دیواری می‌توان بازدهی خوبی را از دودکش‌های دیواری گرفت و این یک طراحی جدید برای به حداقل رساندن اثر تهویه با القای افزایش دما در محفظه دودکش با هدف بهره وری از تابش خورشیدی است.(Khanal, Lei, 2011, p1811).

حالت دوم دودکش خورشیدی به گونه‌ای است که یک کanal زیرزمینی به زیر دودکش خورشیدی متصل می‌گردد و وظیفه تزریق هوای خنک را بر عهده دارد و این یک روش نوآورانه برای گردش هوا در ساختمان از طریق اجرای کanal هوا است که کanal در چندین متر در زیر زمین دفن خواهد شد و از خاک به عنوان یک منبع دمای طبیعی ثابت استفاده می‌کنند. درجه حرارت خاک در زیر زمین نسبتاً ثابت است و دمای آن آشفته نیست. این درجه حرارت بالاتر از دمای سطح در زمستان و در تابستان پایین‌تر است. این سیستم که توانایی تهویه بهتر از طریق اثر سرمایش یا گرمایش و به عنوان یک مبدل حرارتی زمینی ایفای نقش کند و سرعت هوا، اختلاف دما بین هوای محیط و خاک و همچنین طول کanal زمینی و اندازه حجمی کanal و عمق خاک نقش اصلی در کارآیی این مبدل حرارتی دارد. از طرفی دیگر افزایش عمق و طول دفن کanal‌ها و همچنین کاهش سرعت جریان هوا باعث افزایش ظرفیت انتقال حرارت می‌شود (Ahmadi, Mohammadi, ehghani, 2013) (Ahmadi, Mohammadi,2014)



تصویر ۱. (نمونه اول: دودکش خورشیدی مستقل)

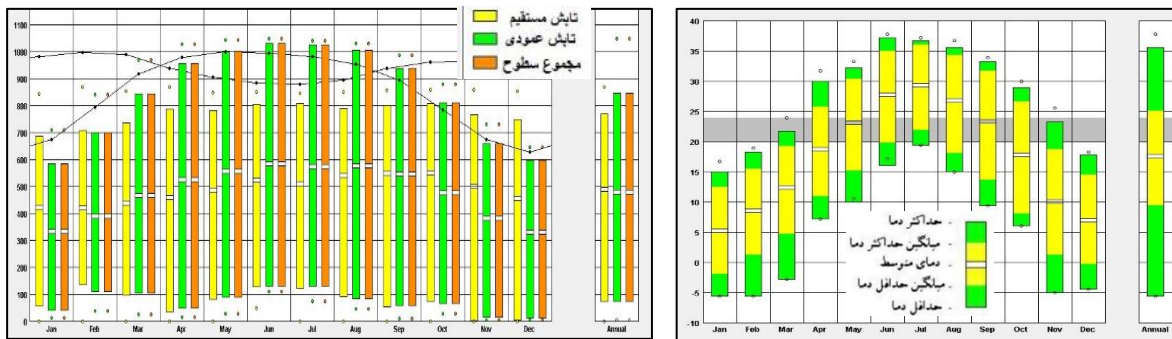
اعمال تزریق هوا

معرفی نرم افزار شبیه سازی

لازم است تحلیل راندمان حرارتی ساختمان‌ها در شروط ناپایدار، اجرای محاسبات متفاوت و پیچیده است که این فرآیند توسط نرم افزارهای شبیه سازی حرارتی صورت می‌گیرد. و نرم افزارها، داده‌های اقلیمی سالانه و ساعت به ساعت محل استقرار ساختمان (شهر) به صورت ورودی نرم افزار دریافت و کارآیی اجزای گوناگون ساختمان نسبت به شرایط تعیین شده و در یک محدوده زمانی مشخص محاسبه و شبیه سازی می‌کند. یکی از برنامه‌های کامپیوتری شبیه سازی و آنالیز انرژی، نرم افزار دیزاین بیلدر^۱ است که با توجه به امکانات و مزیت‌های نرم افزار دیزاین بیلدر و موتور شبیه سازی نرم افزار انرژی پلاس در جهت مشخص نمودن میزان مصرف انرژی در حالت‌های مختلف بهره گرفت و همچنین با استفاده از تکنیک‌های ویژه دینامیک سیالات محاسباتی (CFD) امکان مدل‌سازی جریان هوا را در داخل ساختمان به همراه تجزیه و تحلیل پیش‌بینی جریان هوا و انتقال گرما به نمایش گذاشت. (DesignBuilder, 2016)،

مشخصات اقلیمی سایت مورد تحقیق

برای شبیه سازی انرژی در ساختمان، معمولاً چندین پارامتر مختلف اقلیمی (دماهی هوا، میزان تابش خورشیدی، رطوبت نسبی، سرعت و جهت باد، ارتفاع از سطح دریا، فشار هوا و غیره) مورد نیاز است. در مقاله حاضر از فایل اقلیمی شهر کرمان (با مختصات طول جغرافیایی برابر با ۳۰°۲۹' شمالی ۵۷°۰۶' شرقی) که توسط نرم افزار متیونرم نوشته شده است. بهره گرفته شده و اطلاعات آب و هوایی ساعتی در قالب فایل مناسب اقلیمی به صورت ورودی به نرم افزار دیزاین بیلدر داده می‌شود تا در گام‌های زمانی موردنظر در حل معادلات وارد شود و تحلیل‌های مورد نیاز را انجام دهد. استان کرمان با مساحت ۱۸۵۶۷۵ کیلومتر مربع در جبهه جنوب شرقی کشور قرار دارد و پهناورترین استان کشور محسوب می‌شود. از نقطه نظر تقسیم بندهای جزء اقلیم خشک بیابانی گرم محسوب گردیده است. به این ترتیب آب و هوای این استان به علت وسعت منطقه، وجود پستی و بلندی‌ها و شرایط خاص اقلیمی در نواحی مختلف کاملاً متفاوت است.

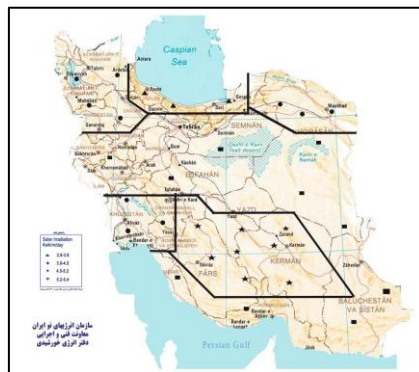


تصویر ۳. دمای هوا و تابش دمای هوای شهر کرمان در ماه‌های مختلف (نرم افزار Climate Consultant 6.0)

^۱ Design Builder

۱۴۰۰ فصلنامه علمی - پژوهشی جغرافیا و برنامه‌ریزی منطقه‌ای، سال یازدهم، شماره چهارم، تابستان دما: به طور کلی فصل تابستان در کرمان از نیمه آبان تا نیمه فروردین و دارای آب و هوای گرم می‌باشد. ماه‌های تیر تا آبان دارای آب و هوای خشک است و از ماه‌های دی تا اردیبهشت هوای خنکتری را شاهد هستیم و بر اساس اطلاعات بدست آمده از ایستگاه سینوپتیک کرمان، میانگین دمای سالانه این شهر ۱۷.۸ درجه سلسیوس، میانگین حداقل دما، ۱۰/۹ و میانگین حداکثر دما ۲۵ درجه سلسیوس بوده است. با توجه به این آمار، میانگین اختلاف دمای بین میانگین حداکثر و حداقل دما ۲۴.۸ درجه سلسیوس است.

تابش آفتاب: میزان تابش خورشیدی در نقاط مختلف جهان متغیر است. کشور ایران با وجود ۳۰۰ روز آفتابی در بیش از دو سوم آن و متوسط تابش ۴.۵-۵.۵ کیلووات ساعت بر مترمربع در روز یکی از کشورهای با پتانسیل بالا در زمینه انرژی خورشیدی معرفی شده است. با توجه به نقشه‌ی پتانسیل تابش خورشید در ایران که توسط سازمان انرژی‌های نو تهیه شده (شکل ۶)، کرمان با تعداد ۲۳۴/۱ روز آفتابی، در منطقه‌ای با متوسط تابش ۵.۲-۴.۵ کیلووات ساعت بر مترمربع است. (Mojarad, Firouz, Moradi, Kamran, 2014)



تصویر ۴. پتانسیل تابش خورشید در ایران

منبع: (سازمان انرژی نو ایران)

میزان متوسط ساعات آفتابی در ایران، سالانه ۲۹۰۰ ساعت می‌باشد. بر اساس اطلاعات بدست آمده از ایستگاه سینوپتیک کرمان در طی یک دوره‌ی ۴۷ ساله، میانگین ساعات آفتابی سالانه، ۳۲۰۰/۱ ساعت بوده که رقمی قابل توجه و حتی بیش از متوسط سالانه‌ی تابش در ایران است (Kerman Province Management and Planning Organization, 2014)

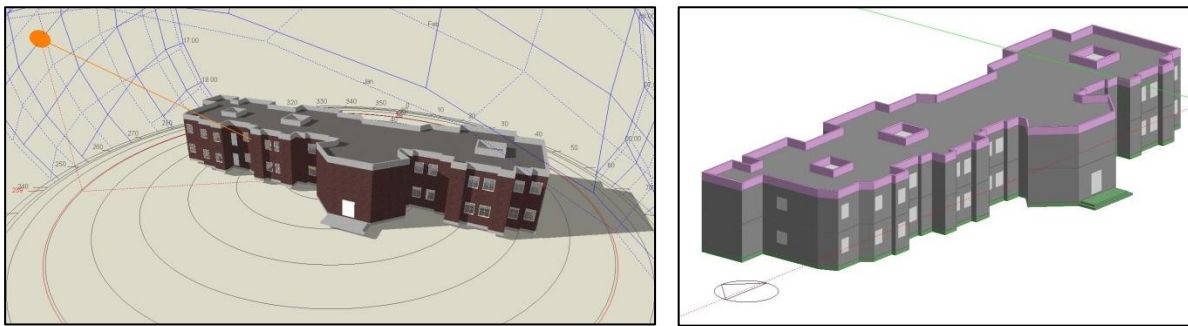
باد: در شهر کرمان با توجه به فصول سال، بادهای مختلفی می‌وزد. بادهای شمال دارای باد سردی است که در زمستان می‌وزد و باد شرقی بیشتر در زمستان می‌وزد و گرم و بدون رطوبت است و باد جنوبی دارای باد ملایمی که در تابستان می‌وزد. بیشترین میزان باد مربوط به فصل بهار و تابستان است، جهت حاکم و غالب این بادها از جنوب غرب به طرف شمال شرق می‌باشد. (Meteorological site of Kerman province, 2020)

WEATHER DATA SUMMARY		LOCATION: KERMAN , <not available>, <not available>											
		Latitude/Longitude: 30.25° North, 56.97° East, Time Zone from Greenwich 4											
		Data Source: WMO Station Number, Elevation 1609 m											
MONTHLY MEANS		JAN	FEB	MAR	APR	MAY	JUN	JUL	AUG	SEP	OCT	NOV	DEC
Wind Direction (Monthly Mode)		0	320	290	320	0	20	20	0	20	0	0	0
Wind Speed (Avg Monthly)		2	3	3	3	3	3	3	3	2	1	1	1

تصویر ۵. مشخصات سرعت و جهت باد شهر کرمان در ماه‌های مختلف (نرم افزار Climate Consultant 6.0)

هندسه ساختمان شبیه سازی شده

در ابتدا مدل یک ساختمان اداری دو طبقه اداری در شهر کرمان در نظر گرفته شده است. با توجه به ابعاد غالب اتاق‌ها در ساختمان‌های اداری با پلان باز و نیز مطالعات قبلی انجام گرفته در این زمینه، مدل شبیه‌سازی شده ساختمان اداری مدیریت و برنامه ریزی استان کرمان واقع در تقاطع بلوار صدوقی با خیابان فارابی انتخاب گردید که متراز مفید طبقات برابر با 1340 متر مربع و ارتفاع مفید طبقات برابر با $2/8\text{ متر طول می‌باشد}$. ورودی اصلی ساختمان مذکور در جبهه جنوبی واقع شده و همچنین در تمامی جبهه‌های نما و سقف آن پنجره جهت نورگیری و تهویه بهتر فضای جانمایی شده است.

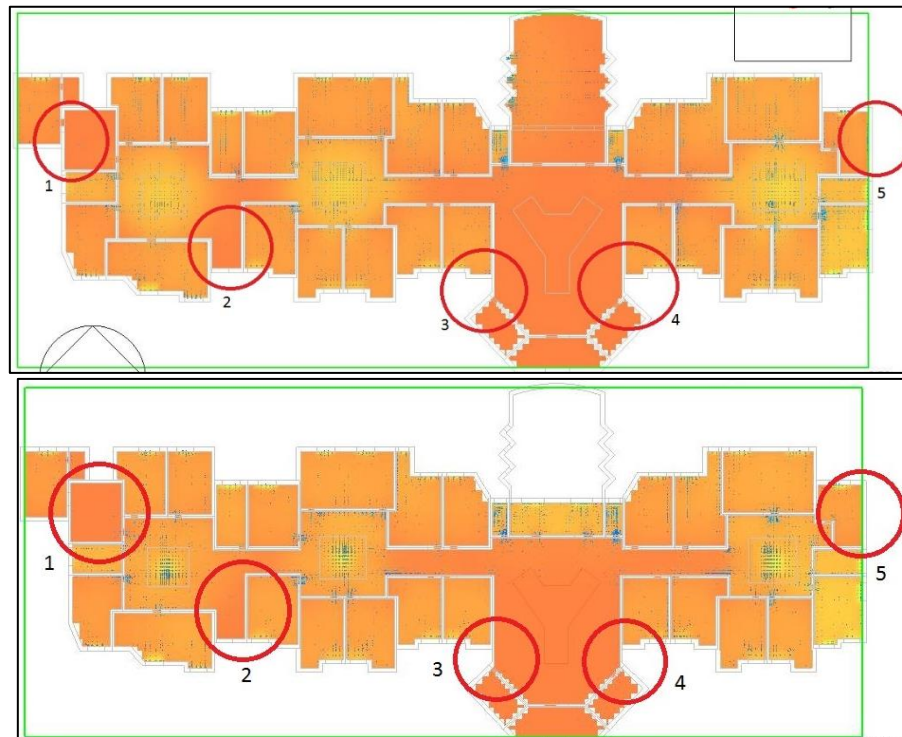


تصاویر ۶ و ۷. ساختمان شبیه سازی شده مدیریت و برنامه ریزی استان کرمان در دیزاین بیلدر

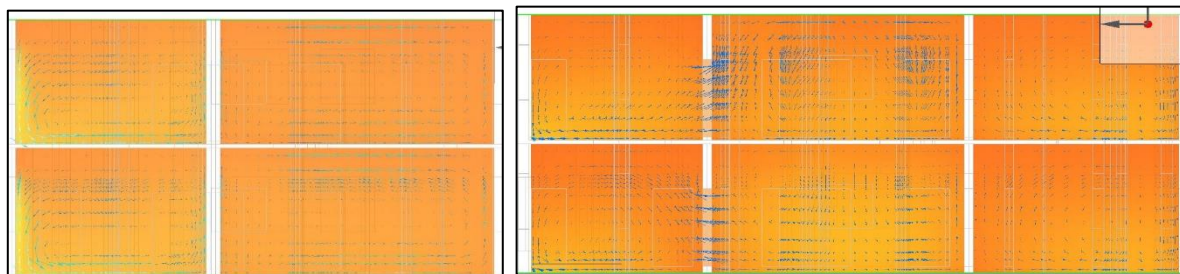
منبع: (یافته‌های پژوهش، ۱۳۹۹)

۴- تجزیه و تحلیل ساختمان پایه با رویکرد بهینه سازی انرژی و آسایش حرارتی

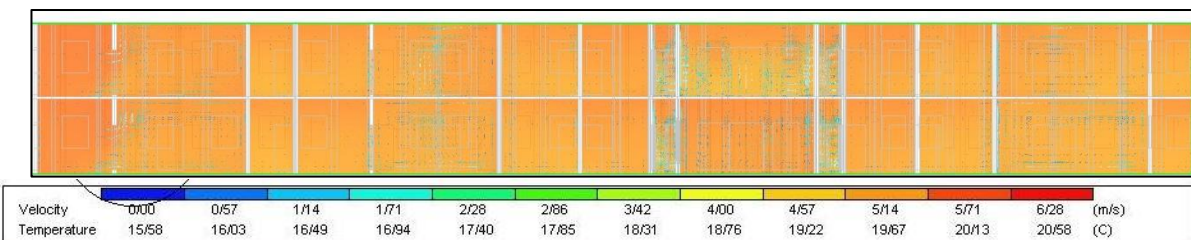
با توجه به توزیع دمایی در ساعت‌های مختلف روز و افزایش شدت تابش، نرخ جریان حجمی‌ها افزایش پیدا می‌کند و در میانه روز با توجه به جهت خورشید به بیشترین میزان خود می‌رسد. پس از آن با کاهش شدت تابش، نرخ جریان حجمی‌ها نیز کاهش می‌یابد. میانگین دمای هوای داخلی محیط ساختمان موردي در گرم‌ترین ماه سال (جولای) برابر با $37/21$ درجه و در سردترین ماه سال (ژانویه) برابر با $11/27$ درجه سانتی‌گراد است. نکته قابل توجه این است که دمای اتاق‌های اداری بیش از حد بالا می‌باشد و برای رسیدن به حد مطلوب شرایط آسایش برساند نیاز به اتخاذ استراتژیهای مناسب، امکان بهره‌گیری از هوای بیرون برای تعدیل شرایط حرارتی فضاهای اداری می‌باشد تا میزان مصرف انرژی ساختمان موردي را کاهش دهد. میزان مصرف انرژی در وضعیت کنونی برای پر مصرف ترین ماه سال (آگوست) که مقدار $30870\text{ کیلووات ساعت می‌باشد}$.



تصاویر ۸ و ۹. توزیع دمایی طبقات همکف و اول ساختمان با روش دینامیک سیالات (CFD)

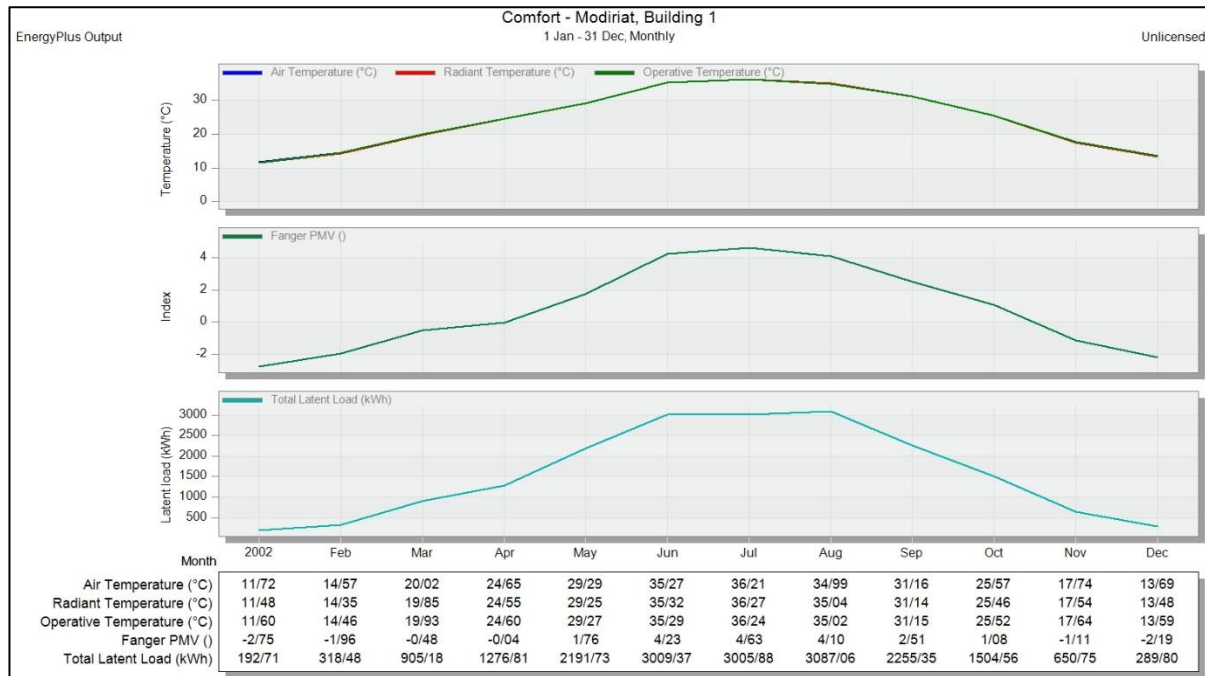


تصویر ۱۰. توزیع دمایی طبقات در راستای دودکش شماره ۳ و ۴
تصویر ۱۱. توزیع دمایی طبقات در راستای دودکش شماره ۲



تصویر ۱۲. توزیع دمایی طبقات در راستای دودکش شماره ۱ و ۵ با روش دینامیک سیالات (CFD)
با توجه به نمودار ۱۴، میزان آسایش حرارتی و میزان دمای داخلی و دمای تابشی فضا و همچنین میزان نیاز انرژی ساختمان پایه را به نمایش گذاشتیم که در جهت تأمین دمای راحتی کارکنان که توسط دیزاین‌بیلدر بدست آمده است و طبق آن، محدوده شاخص رضایت آسایش حرارتی بدست آمده آن بین $2/76 - 6/24$ است که از سردترین آن ژانویه (دی ماه) و گرم‌ترین حالت آن در ماه جولای (تیرماه) می‌باشد که اعداد منجع از ساختمان اداری

پایه با معیارهای آسایشی فاصله زیادی است و دلیل آن عدم وجود تبادل حرارتی با هوای مطلوب و تهویه هوای مناسب در بخش‌های مختلف فضای است که در این پژوهش مکان‌ها را شناسایی و مورد بررسی قرار گرفته می‌شود.



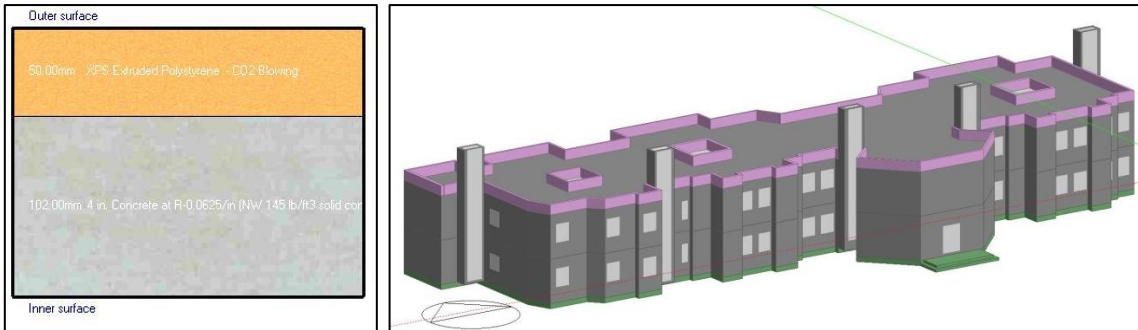
تصویر ۱۳. میانگین شاخص آسایش حرارتی در ماه‌های مختلف سال در ساختمان اداری نمونه

با انجام فرآیند مدل سازی انجام شده توسط برنامه شبیه‌سازی دیزاین‌بیلدر و استفاده از روش دینامیک سیالات، نحوه توزیع دمای هوای در حالت اولیه ساختمان، انجام گرفت تا فضاهایی که دمای هوای بالاتری نسبت به حد آسایش دارند را شناسایی نموده و در ادامه جهت تعدیل هوای نامطلوب آسایشی، ساختمان را با پنج دودکش خورشیدی رو به جنوب تجهیز و با ساختمان ترکیب شده است؛ پس از کنکاش در عملکرد دودکش خورشیدی و ترکیب با این ساختمان، به تحلیل نتایج آن پرداخته شد.

با این هدف، پنج مکان استقرار در جبهه جنوبی ساختمان اداری انتخاب شد (تصاویر ۹ و ۸). محل قرارگیری دودکش‌ها با توجه به موقعیت‌های متفاوت جغرافیایی و جبهه قرارگیری آن دارای ویژگی‌های خاص آب‌وهوایی و تغییر زاویه تابش خورشید می‌باشند. شرایط آب‌وهوایی مورد استفاده برای تحقیق حاضر، در تمامی ماه‌های سال استخراج زوایه تابش خورشید می‌باشد. توان خروجی کلیت دودکش خورشیدی به عنوان تابعی از خواص مختلف حرارتی- فیزیکی مانند فشار محیط، دمای محیط و تابش خورشید متوسط محلی مورد بررسی قرار گرفت. در عین حال اندازه هندسه لازم برای ارزیابی تأثیر فشار محیط بر قدرت خروجی طراحی شده و دمای محیط و تابش خورشیدی برای تمامی دودکش‌ها در نظر گرفته می‌شود.

با توجه به پیرامون موضوع، نسبت به اعمال دودکش‌های خورشیدی در پنج مکان به ابعاد ۲ متر طول، ۰/۸ عرض و ۵/۹ متر ارتفاع در جبهه جنوبی ساختمان اقدام شد و دریچه‌هایی را جهت ارتباط دمایی بخش فوقانی هر طبقه با دودکش ایجاد شد. مصالح بکاررفته در کانال دودکش خورشیدی شامل کف بتُنی و پوسته خارجی سقف و دیوار از

۱۴۶ فصلنامه علمی - پژوهشی جغرافیا و برنامه‌ریزی منطقه‌ای، سال پازدهم، شماره چهارم، تابستان ۱۴۰۰
بیرون شامل ۱۰ سانتی‌متر بتن همراه با ۵ سانتی‌متر عایق پلی‌استایرن است. (تصویر ۱۵) ضریب انتقال حرارت پنجره-
ی بکاررفته در دودکش ($W/m^2.K$) ۱/۹۶ است که از قاب یوبی‌وی‌سی و شیشه دوجداره شفاف به ضخامت ۳
میلی‌متر با فضای میانی هوا به ضخامت ۱۳ میلی‌متر تشکیل شده است.



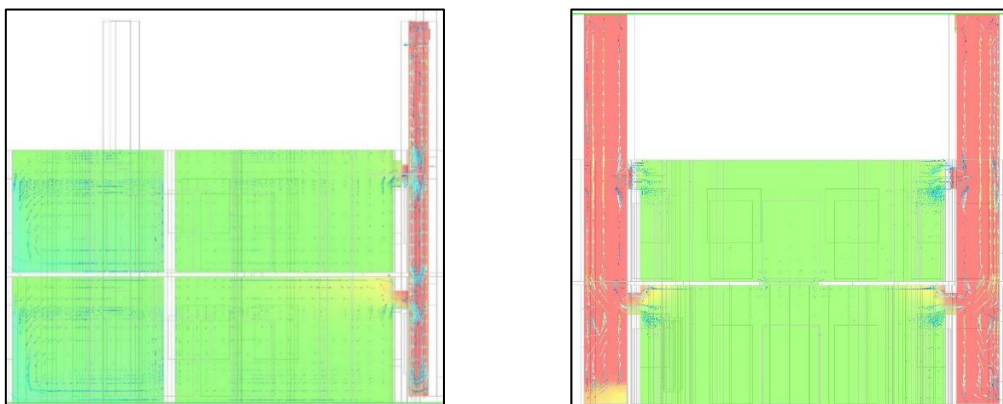
تصویر ۱۴. استقرار ۵ دودکش در محل های انتخابی دیوار دودکش خورشیدی (نگارنده)

تجزیه و تحلیل ساختمان با اعمال دودکش خورشیدی (حالت اول)

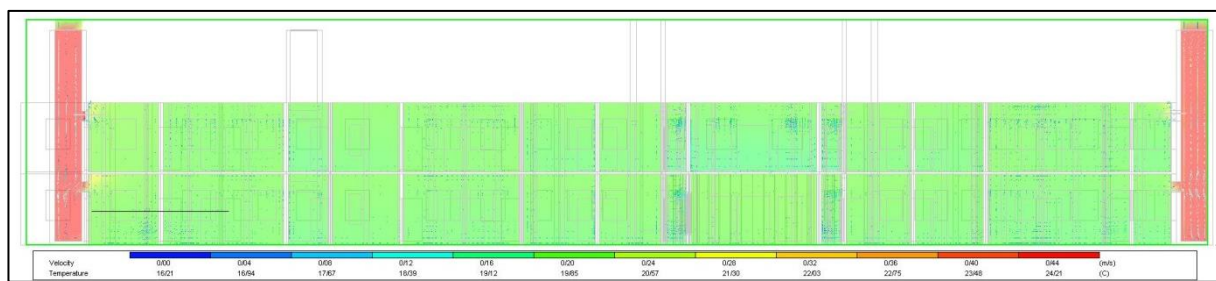
در طی جانمایی پنج دودکش خورشیدی در مکان‌های مشخص و انجام تحلیل‌های لازم دینامیکی، نتایج قابل قبولی ارائه گردید که میزان گرمای بالای فضاهای دلیل مکش دودکش‌های خورشیدی کاهش پیدا کرده و هوای خنکتر جایگزین آن شده است و این جابجایی هوا خنک‌سازی طبیعی را به ارمغان می‌آورد و به رغم آن کاهش مصرف انرژی سرمایش را دربی داشته است. با توجه به تفاوت زیاد معیار شاخص حرارتی با استانداردهای فینگر و مصرف زیاد آن در ساختمان پایه نسبت به تجزیه و تحلیلی دوباره از ساختمان با اعمال پنج دودکش خورشیدی اقدام شد و مجدداً شبیه سازی دمای هوای تمامی فضاهای و شرایط آسایش حرارتی آن انجام گرفت که با مقایسه بین خروجی-های ساختمان با اعمال دودکش خورشیدی با ساختمان پایه، شاهد کاهش شاخص حرارتی و نزدیکی آن با میزان استاندارد فینگر هستیم.



تصاویر ۱۶ و ۱۷. توزیع دمایی طبقات همکف و اول ساختمان با اعمال دودکش خورشیدی با روش دینامیک سیالات (CFD)

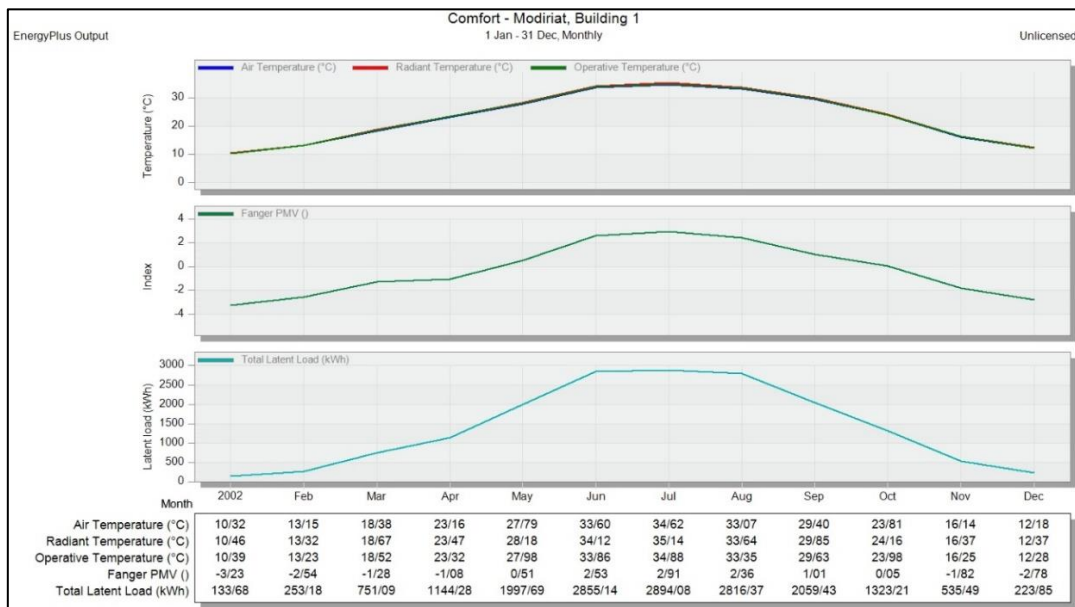


تصویر ۱۸. توزیع دمایی طبقات در راستای دودکش شماره ۳ و ۴
تصویر ۱۹. توزیع دمایی طبقات در راستای دودکش شماره ۲



تصویر ۲۰. توزیع دمایی طبقات در راستای دودکش شماره ۱ و ۵ با روش دینامیک سیالات (CFD)

با توجه به نتایج حاصله از نمودار بدست آمده از نرم افزار شبیه سازی دیزاین بیلدر حاکی از آن است که میزان میانگین دمای هوای داخلی گرم ترین ماه سال (جولای) با فرض تأسیسات مکانیکی خاموش از ۳۶/۲۱ درجه سانتی گراد به ۳۴/۶۲ درجه سانتی گراد رسیده است و مقدار ۱/۴۱ درجه سانتی گراد کاهش پیدا کرده است. هر چند در تمامی ماههای سال نیز کاهش دمای هوای را شاهد هستیم که ضرورت دارد در ماههای سرد سال با بستن دریچه هوا از افت حرارت هوای گرم در بالای دودکش امتناع شود.



تصویر ۲۱. میانگین شاخص آسایش حرارتی در ماههای مختلف سال ساختمان اداری نمونه با اعمال دودکش

خورشیدی

در پی اعمال دودکش‌های خورشیدی مقادیر مربوط به میزان مصرف انرژی مورد نیاز طبق تصویر ۲۱، در ماه جولای ۳/۷ درصد کاهش به میزان ۲۸۹۴/۰۸ کیلووات ساعت رسیده است و بهینه‌سازی را در بخش انرژی صورت گرفت. همانگونه که قبلاً بیان شد، با به جریان انداختن هوا و خروج هوا گرم از فضای درونی ساختمان در ماههای گرم سال به معیار آسایش حرارتی نزدیکتر خواهیم شد و با کاهش دمای هوای داخلی میزان شاخص آسایش حرارتی از مقدار ۴/۶۳ واحد به مقدار ۲/۹۱ واحد رسید. هر چند این مقدار با معیار شاخص راحتی فینگر فاصله دارد ولی با توجه به کاهش ۳۷ درصدی نسبت به مقدار ساختمان پایه موردنی از درجه قابل قبولی برخوردار بوده است.

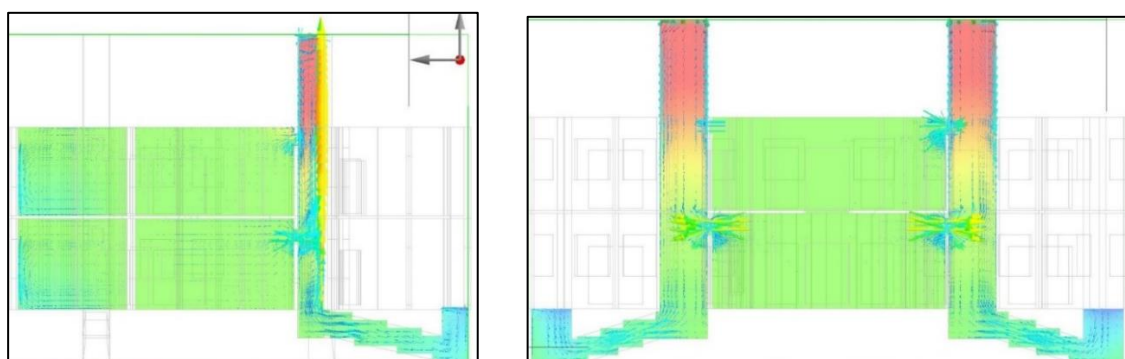
تجزیه و تحلیل ساختمان با اعمال دودکش خورشیدی و تزریق هوا از کف دودکش (حالت دوم)

این سیستم غیرفعال خورشیدی ترکیبی از دودکش خورشیدی با مبدل حرارتی زمین به هوا می‌باشد که به کمک انرژی خورشیدی، سرمایش و تهویه را در طول روز برقرار می‌کند و این سیستم یک تکنیک تهییه طبیعی می‌باشد که با استفاده از خاصیت دودکشی سبب به وجود آمدن نیروی مکشی می‌شود که هوای بیرون را به داخل کانال زیرزمینی می‌کشاند و هوای گرم ایجاد شده داخل دودکش را با سرعت بیشتر به سمت بالا به حرکت درمی‌آورد و در کنار عملکرد اصلی دودکش خورشیدی، باعث افزایش راندمان هوایی در ناحیه داخلی ساختمان را شاهد خواهیم

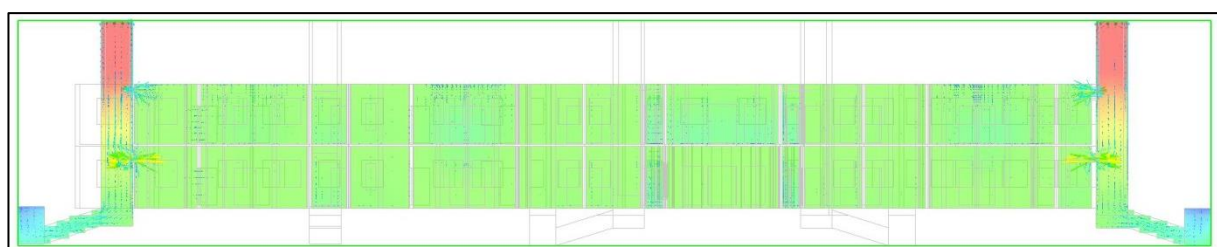
بود. نتایج نشان داد که با بهره‌گیری از سیستم سرمایشی زیرزمینی بدون نیاز به الکتریسیته، می‌توان دودکش خورشیدی را با کارآیی بیشتر استفاده نمود و همچنین آسایش حرارتی محیط داخلی را برای ساعات زیادی از روزهای سوزان تابستان فراهم نمود.



تصاویر ۲۲ و ۲۳. توزیع دمایی طبقات همکف و اول ساختمان نمونه با اعمال دودکش خورشیدی و تزریق هوای مطلوب با روش دینامیک سیالات (CFD)

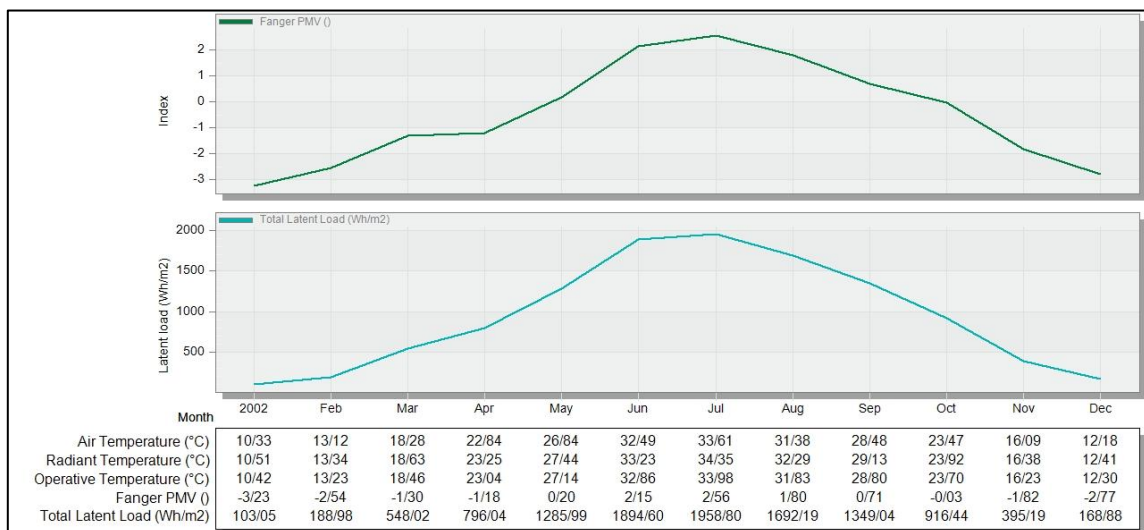


تصویر ۲۴. توزیع دمایی طبقات در راستای دودکش شماره ۳ و ۴
تصویر ۲۵. توزیع دمایی طبقات در راستای دودکش شماره ۲



تصویر ۲۶- توزیع دمایی طبقات طبقات در راستای دودکش شماره ۱ و ۵ با روش دینامیک سیالات (CFD)

با توجه به نمودارها مشخص می‌گردد که میزان جریان حجمی هوا در ساعت اداری، با ورود هوا از کanal زیرزمینی به کف دودکش خورشیدی افزایش می‌یابد. دلیل این است که پس از تابش خورشید، حجم هوا که در دودکش خورشیدی باید گرم شود تا نیروی لازم برای مکش را ایجاد کند، زمان کمتر از حجم هوا موجود در حالت دودکش اولیه است و درنتیجه تهویه زودتر آغاز می‌گردد. اما پس از غروب خورشید این روند تغییر می‌کند و در نیمه‌های شب، میزان جریان حجمی در دودکش خورشیدی کمتر خواهد شد. این پدیده به این دلیل است که همانطور که زمان بیشتری صرف گرم شدن حجم هوا داخل دودکش خورشیدی می‌گردد، به همان میزان نیز زمان بیشتری طول می‌کشد تا هوا گرم شده از دودکش خارج شود و با شروع تابش خورشید در ساعت اولیه صبح، این روند دوباره تکرار می‌گردد. بیشترین میزان جریان حجمی هوا مربوط به میانه روز، در ساعت حدود (۱۱ تا ۱۳)، است که بیشترین شدت تابش اتفاق می‌افتد. با استناد به خروجی‌های روش دینامیک سیالات در ساختمان اداری موردی، به نتایج زیر منتج شد که ساختمان موردی با اعمال دودکش خورشیدی و تزریق هوا خنک به محفظه کanal آن، مقدار ۱۹۵۸/۸۰ کیلووات ساعت در ماه تیر (جولای) انرژی نیاز دارد تا به آسایش حرارتی برساند. البته به رغم بهره‌گیری از این سیستم ترکیبی توانسته شد که مصرف انرژی الکتریکی را به حدود ۳۵٪ نسبت به ساختمان اولیه کاهش دهد.



تصویر ۲۷. میانگین شاخص آسایش حرارتی در ماه‌های مختلف سال ساختمان اداری نمونه با اعمال دودکش

خورشیدی و تزریق هوا مطلوب

شبیه‌سازی‌های انجام گرفته در ماه‌های گرم سال نشان می‌دهد که میانگین دمای هوا محیط در ساختمان مجهز به دودکش خورشیدی ترکیبی با تزریق هوا، کاهش پیدا کرده است و به دمای ۳۳/۶۱ درجه سانتی‌گراد رسیده است این مقدار نسبت به ساختمان با اعمال دودکش خورشیدی مستقل حدود یک درجه و نسبت به ساختمان پایه حدود ۳ درجه کاهش پیدا کرده است.

مقدار شاخص آسایش حرارتی حالت دوم در گرم ترین ماه سال به مقدار ۲/۵۶ واحد کاهش پیدا کرده است ولی همانگونه که مشاهده می‌شود میزان درصد آسایش حرارتی در ماه‌های سرد افزایش پیدا می‌کند و این سیستم غیرفعال خورشیدی باعث تداخل عملکردی هم می‌شوند و گرمای حاصل از تشعشعات خورشیدی را به بیرون هدایت

می‌کند در صورتی که برای تأمین گرمایش فضای داخلی از آن ضرورت دارد و راه حل این مشکل را می‌توان باسته نمودن دریچه‌های ورودی هوا در قسمت کانال‌های زیرزمینی در ماههای مذکور به حل این مسئله ختم شود.



تصویر ۲۸. مقایسه میانگین دمای هوای داخلی در ماههای مختلف سال در حالت‌های مختلف

بسته به محدوده‌ی مقادیر به دست آمده برای PMV، حالت‌های مختلفی برای شرایط آسایش حرارتی کلی ممکن است به وجود آید. اگر این معیارها مدنظر قرار گیرد، ظرفیت سرمایشی و گرمایشی سیستم‌های تهویه نصب شده باید نسبتاً بالا باشد. از سوی دیگر با در نظر گرفتن دیدگاه‌های اقتصادی و زیست محیطی، بازه‌های محدود زمانی که در آنها PMV از محدوده مجاز کمی فراتر رفته است نیز می‌تواند مورد قبول باشد. با اندازه‌گیری و شبیه‌سازی کامپیوتری می‌توان شرایط آسایش حرارتی را در بازه‌ی بلندتری برای انواع مختلف ساختمان و وسائل تهویه مطبوع مورد استفاده در آن بررسی کرد.



تصویر ۲۹. مقایسه میانگین شاخص آسایش حرارتی در ماههای مختلف سال در حالت‌های مختلف

نتیجه گیری و دستاوردهای علمی پژوهشی

انگیزه‌های مختلفی وجود دارد که ما را به سمت توسعه ساختمان‌های سبز سوق می‌دهد که این امر به طراحی و الزامات جدید برای توسعه سیستم‌های تهویه طبیعی نوآورانه منجر شده است. تهویه طبیعی حاصل از دودکش خورشیدی به عنوان یک استراتژی نوآورانه در کاهش تقاضای انرژی در نظر گرفته می‌شود و می‌توان به درمناطقی با تابش خورشیدی مناسب طور گستره‌ای استفاده کرد و سرمایش یا گرمایش طبیعی را ایجاد کنند. به همین دلیل پتانسیل زیادی که برای صرفه جویی در مصرف انرژی، کاهش هزینه‌ها و کاهش تولید گازهای گلخانه‌ای دارند.

با توجه به شبیه‌سازی ساختمان اداری ۲ طبقه واقع در شهر کرمان به عنوان نمونه موردی، طی سه مرحله ساختمان پایه و ساختمان با اعمال دودکش مستقل و ساختمان با سیستم ترکیبی دودکش خورشیدی و تزریق هوا از کف

۱۴۰۰ فصلنامه علمی - پژوهشی جغرافیا و برنامه‌ریزی منطقه‌ای، سال پازدهم، شماره چهارم، تابستان ۱۴۰۰ دودکش انجام شده است و در طی فرآیند شبیه سازی مراحل فوق، جهت بررسی تاثیر استفاده از دودکش خورشیدی بر مصرف انرژی سالانه کل ساختمان، نتایج شبیه سازی‌های صورت گرفته در این مقاله نشان داد که در جهت تأمین بخشی از میزان استاندارد تهويه ساختمان‌های اداری در اقلیم گرم و خشک، از دودکش خورشیدی بهره گرفت و نصب دودکش خورشیدی ترکیبی با بهره گیری از کanal زمینی که تهويه هوا را از فضای باز به زیر کanal دودکش خورشیدی فراهم می کند. می‌تواند میانگین دمای عملیاتی ماهانه را از ۳۶/۲۱ درجه سانتیگراد به ۳۳.۶۱ درجه سانتیگراد کاهش داده و مصرف انرژی تا ۳۵ درصد کاهش دهد و شرایط محیطی راحت را بدون بکارگیری تهويه مطبوع حفظ کنند و به واسطه استفاده از این سیستم ترکیبی می‌توان به میزان کمتری از معیارهای شاخص PMV دست پیدا کرد و مقدار آن را از ۴/۶۳ واحد به ۲/۵۶ واحد رساند. این درحالی است که با اعمال دودکش خورشیدی مستقل میانگین دمای هوای داخلی به ۳۴/۶۲ درجه سانتی گراد رسیده است و مقدار ۱/۴۱ درجه سانتی گراد کاهش پیدا کرده است. با این حال، دودکش خورشیدی مستقل قادر به برآورده کردن راحتی حرارتی به میزان قابل توجهی در هوای گرم شدید نیست و تزریق هوا از فضای باز با عبور از کanal زیرزمینی یکی از مؤثرترین روش‌ها برای پایین نگه داشتن دمای اتاق محسوب می‌شود.

- منابع -

- Ahmadi, M.H., Mohammadi, A.H., Dehghani, S. (2013). Evaluation of the maximized power of a regenerative endoreversible Stirling cycle using the thermodynamic analysis. *Energy Conversion and Management*, 76: 561-570. <https://doi.org/10.1016/j.enconman.2013.07.082>
- ASHRAE 55 (2010), ANSI/Ashrae Standard 55-2010, Ashrae Environmental Conditions For Humman Occupancy, Atlanta, Ga, USA:American Society of Heating, Refrigeration and Air Conditioning Engineers.
- Garcia-Hansen V, Esteves A, Pattini A. (2002). Passive solar systems for heating, daylighting and ventilation for rooms without an equator-facing facade. *Renew Energy*;26:91–111.
- Gehad Mekkawi, Rana Elgendi, (2016) Solar Chimney for Enhanced Natural Ventilation Based on CFD-Simulation for a Housing Prototype in Alexandria, Egypt, Conference: The 63rd International Conference on Civil and Architectural Engineering (ICCAE), At Berlin, Germany, July.
- J. Mathur, N. Bansel, S. Mathur, and M. Jain, (2006), "Experimental investigations on solar chimney for room ventilation, "Solar Energy, vol.80, pp.927-935,
- Khanal R, Lei C. (2011). Solar chimney—a passive strategy for natural ventilation. *Energy Build* 2011;43:1811
- Mathur, J., Mathur, S., ANUPMA, (2006). Summer-performance of inclined roof solar chimney for natural ventilation. *Energy Build.* 38, 1156–1163.
- Naraghi MH, du Sordet RC. (2011) Stack effect correlation for rooftop solar chimneys. In: Proceedings of the ASME 2011 international mechanical engineering congress and exposition: American Society of Mechanical Engineers. p. 801–8.
- taban, Mohsen: pourjafar, Mohammadreza; Bemanian, Mohammadreza and Heidari, Shahin, (2013) "Climate Impact on Architecture ornament Analyzing the Shadow of Khavoon in Dezful Historical Context with the Use of image Processing", Naghshejahan, 2(3) 79-90.
- Ürge-Vorsatz D, Cabeza LF, Serrano S, Barreneche C, Petrichenko K. (2015) Heating and cooling energy trends and drivers in buildings. *Renew Sustain Energy Rev*;41:85–98.
- A. Bouchair and D. Fitzgerald, (1988), "The optimum azimuth for a solar chimney in hot climates," *Energy and building,s*, vol. 12, pp.135-140,
- A. Bouchair, (1994), 'Solar chimney for promoting cooling ventilation in southern Algeria,' *Building Services Engineering Research and Technology*, vol.15,pp.81-93.

- Abd Elbar, A.R., Hassan, H., (2019), Experimental investigation on the impact of thermal energy storage on the solar still performance coupled with PV module via new integration. Sol. Energy 184, 584–593. <https://doi.org/10.1016/j.solener.2019.04.042>
- Ahmadi, M.H., Ahmadi, M.A., Mohammadi, A.H., Feidt, M., Pourkiae, S.M. (2014).Multi-objective optimization of an irreversible Stirling cryogenic refrigerator cycle. Energy Conversion and Management, 82: 351-360. <https://doi.org/10.1016/j.enconman.2014.03.033>
- Ahmadi,P, Dincer,I, Rosen,M.A. (2013), Thermodynamic, modeling and multi-objective evolutionary-based optimization of a new multigeneration energy system. Energy Convers Manage, 76: 282-300. <https://doi.org/10.1016/j.enconman.2013.07.049>
- Ansari manesh, Maryam, Nasrollahi, Nazanin, (2014), Determining the range of thermal comfort of residents in order to optimize the quality of indoor environment in office buildings in Kermanshah, Naghsh Jahan, Fourth Year, No. 2, December ,pages 17-27.
- Bahadorinezhad, Mahdi, Ya'ghobi, Mahmoud, (2006), Natural ventilation and cooling in traditional Iranian buildings ", University Publishing Center, Tehran,.
- Cole, R.J., Fedoruk, L., (2015), Shifting from net-zero to net-positive energy buildings. Build. Res. Inf. 43, 111–120. <https://doi.org/10.1080/09613218.2014.950452>
- DesignBuilder. (2016), DesignBuilder Software (online). Gasglow, Scotland: DesignBuilder Software Ltd. [Accessed 14 May 2016]
- Hashemi Rafsanjani, Layli alsadat, Haydari, Shahin, (2019), Assessing Comparative Thermal Comfort in Residential Houses Hot and Dry Climate Case Study: Kerman Province, Shahr Magazine and Indigenous Architecture, Fall and Winter, No. 8
- I. Koronaki, (2013), "The impact of configuration and orientation of solar thermosyphonic systems on night ventilation and fan energy savings," Energy and Buildings, vol. 57, 119-131.
- J. Khedari, B.Boonsri, and J. Hirunlabh, (2000), "Ventilation impact of a solar chimney on indoor temperature fluctuation and air change in a school building," Energy and building, vol.32,pp.89-93,
- Kerman Province Management and Planning Organization, (2016), Studies of the second stage of planning in Kerman province Review of studies of the first stage.
- Lal S, Kaushik S, Bhargav P. (2013). Solar chimney: a sustainable approach for ventilation and building space conditioning. Int J Dev Sustain;2:277–97.
- medi, hossein, khoshbakht, yaser, Azmodeh, Maryam, (2020), Investigating the geometry of urban blocks in the amount of thermal comfort of open space in the warm period of the year (Case study: Hamedan city), Urban design studies and urban research, spring, third year - No.10 p28 to 39)
- Meteorological site of Kerman province,(2020). <http://kerman-met.ir/>
- Mojarrad, Firouz, Moradi, Kamran, (2014), Attitude on the imbalances and trends of sundials in Iran, Geography and Development,
- P.O. Fanger, (1972) Thermal comfort analysis and application environmental engineering. Megrawhill book-company, Newyork,
- R. Bassiouny and N. S. Koura, (2008), "An analytical and numerical study of solar chimney use for room natural ventilation," Enegy and building, vol.40, pp. 865-873,
- Shikhzade, Ghanbarali, Sadripour, Sroush, Mollamahi, Mahdi, (2019), Numerical study of the effect of speed and location of ceiling fan on thermal comfort and reduction of energy consumption in office buildings, Amir Kabir Mechanical Engineering Journal, Volume 50, Number 2, Pages 309 to 326
- X. Jianliu and L. Weihua, (2013), "Study on solar chimney used for room natural ventilation in Nanjing," Energy and Buildings, vol. 66, pp.467-469,
- Zanganh, Najme, Barzgar, Zahra, (2019), Comparison of the internal and external thermal comfort of winter residence and central courtyard in traditional house by PMV and PPD method (case study: Shiraz Tulai House), environmental studies of Haft Hesar,summer - No.24 - P 55 to 68.
- Zomorodian, Zahrasadat, Aminian, Saeid, Tahbaz, Mansoure, (2016), Evaluation of thermal comfort in the classroom in hot and dry climate "Field studies: Girls' primary school in Kashan", Journal of Fine Arts -Architecture Urban Planning, V(21), Build;43:1811. P17-28